

Fig. 1

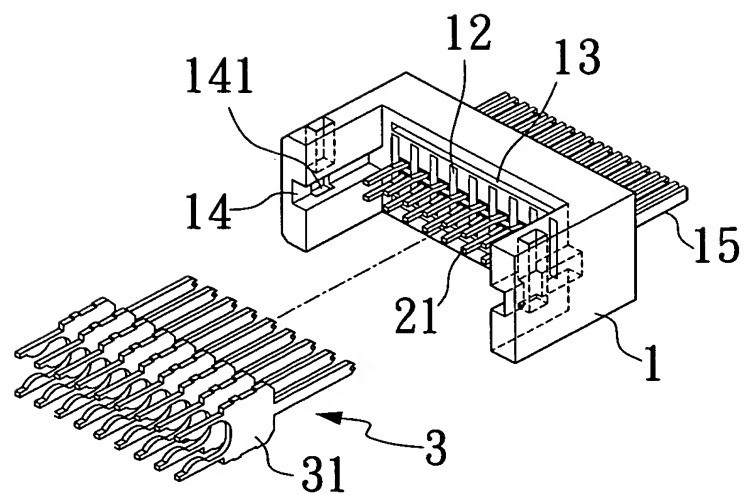


Fig. 2

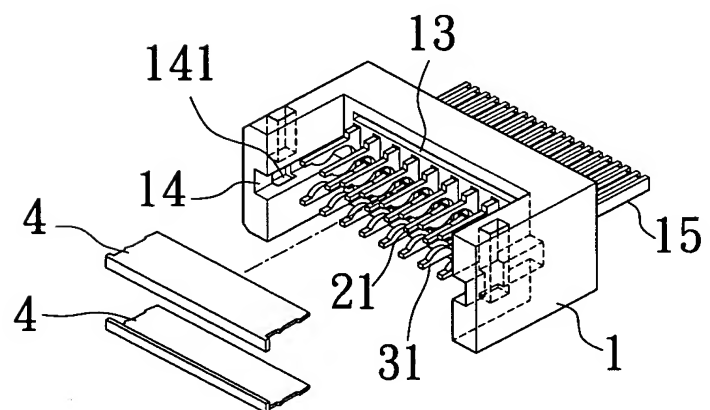


Fig. 3

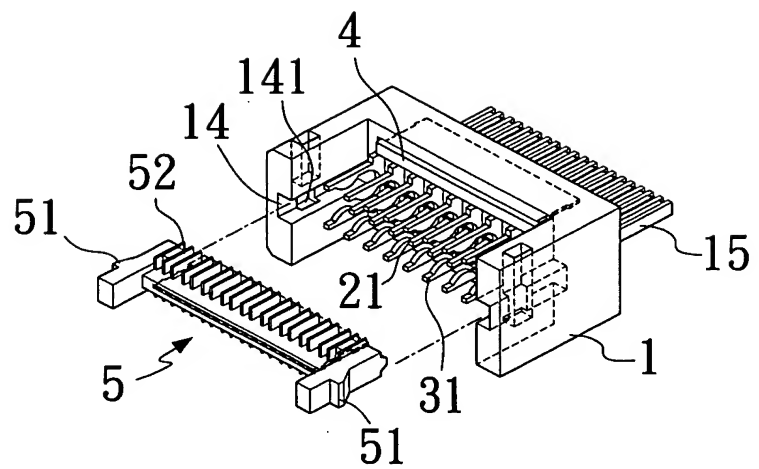


Fig. 4

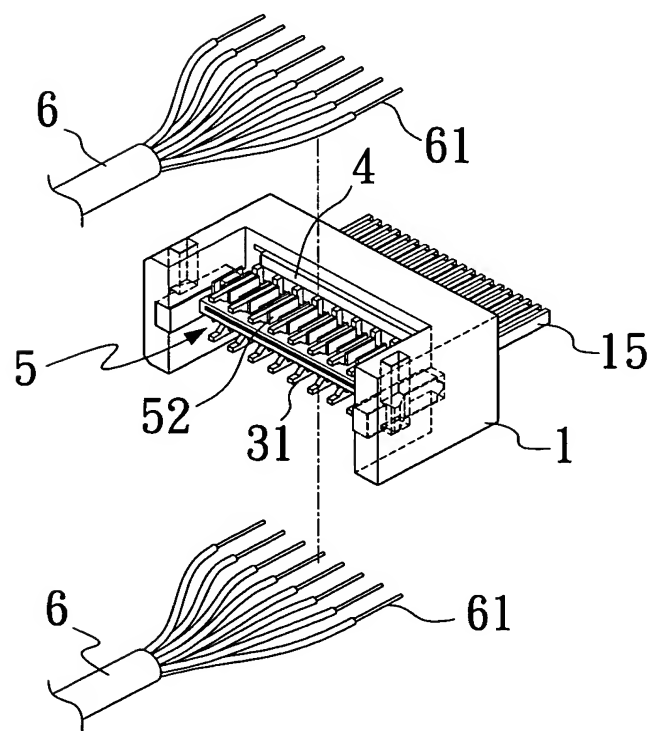


Fig. 5

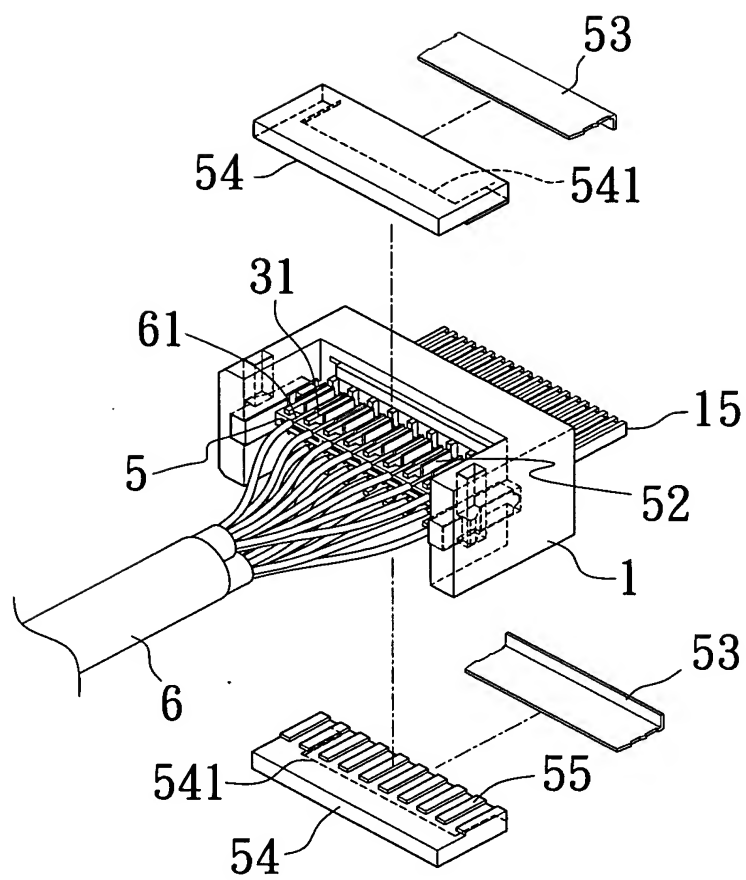


Fig. 6

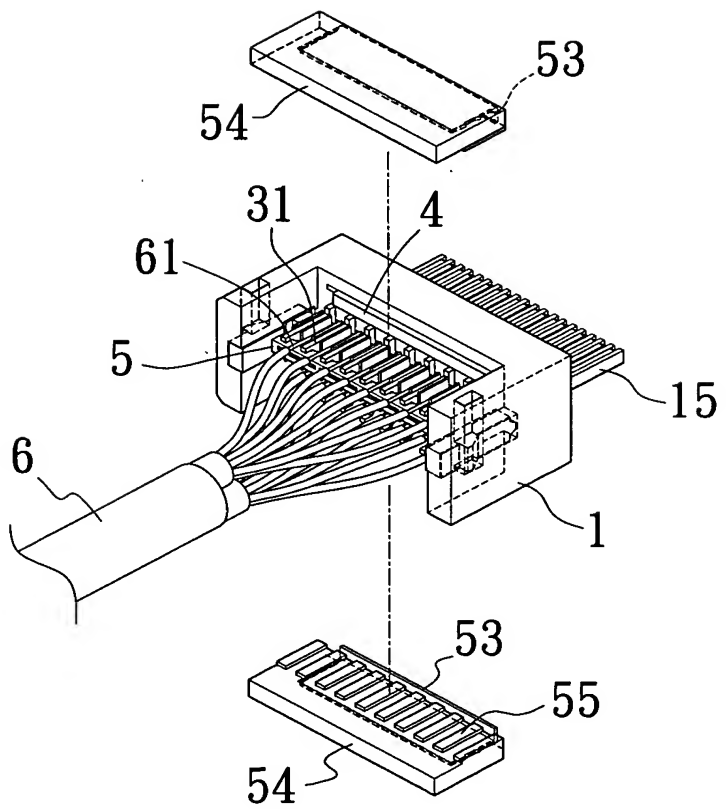


Fig. 7

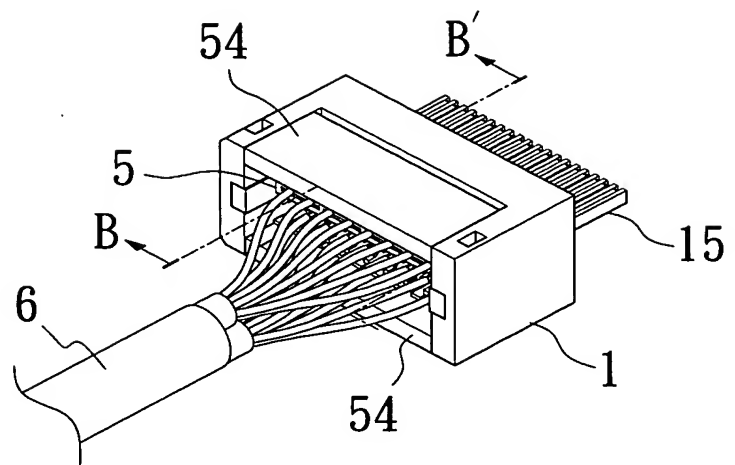
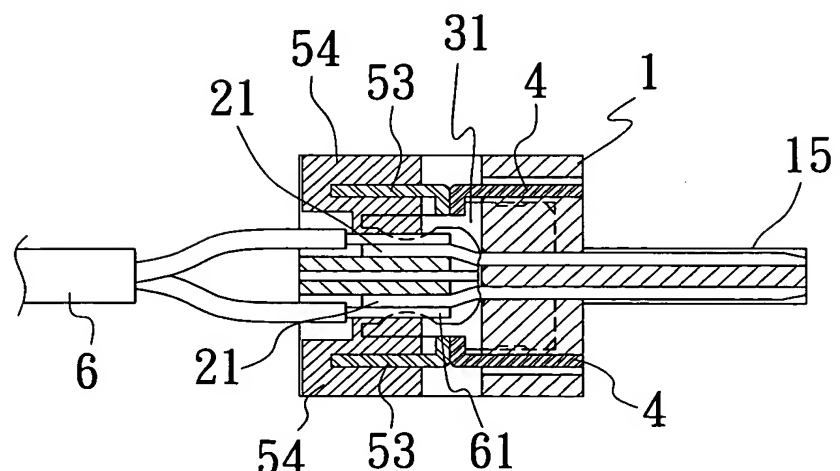


Fig. 8(a)



B-B'
Fig. 8(b)

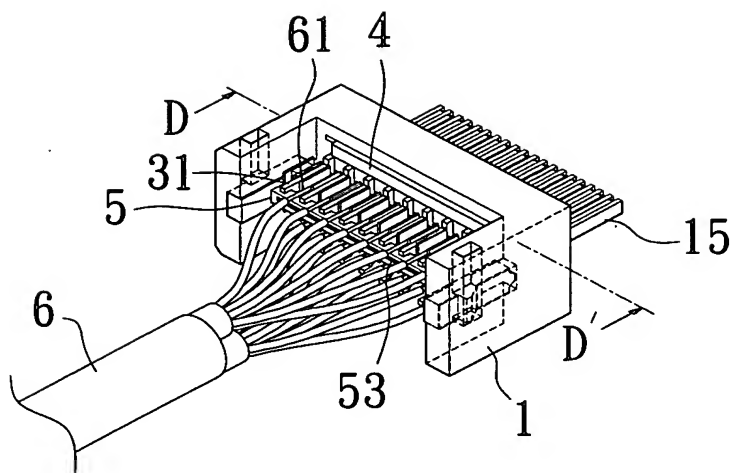
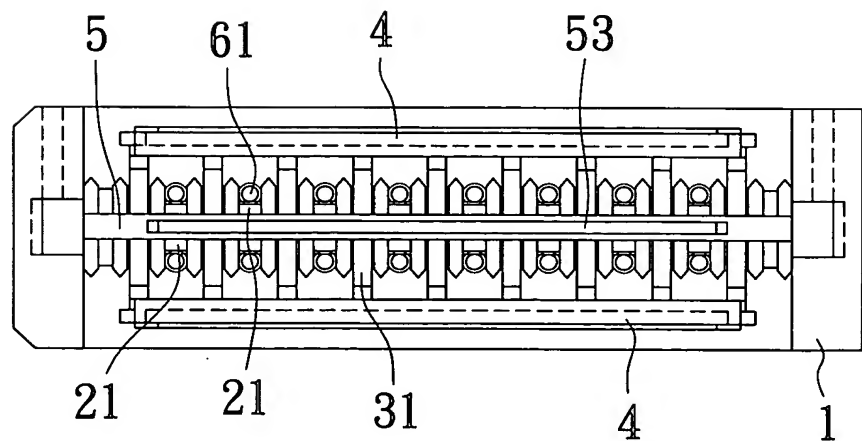
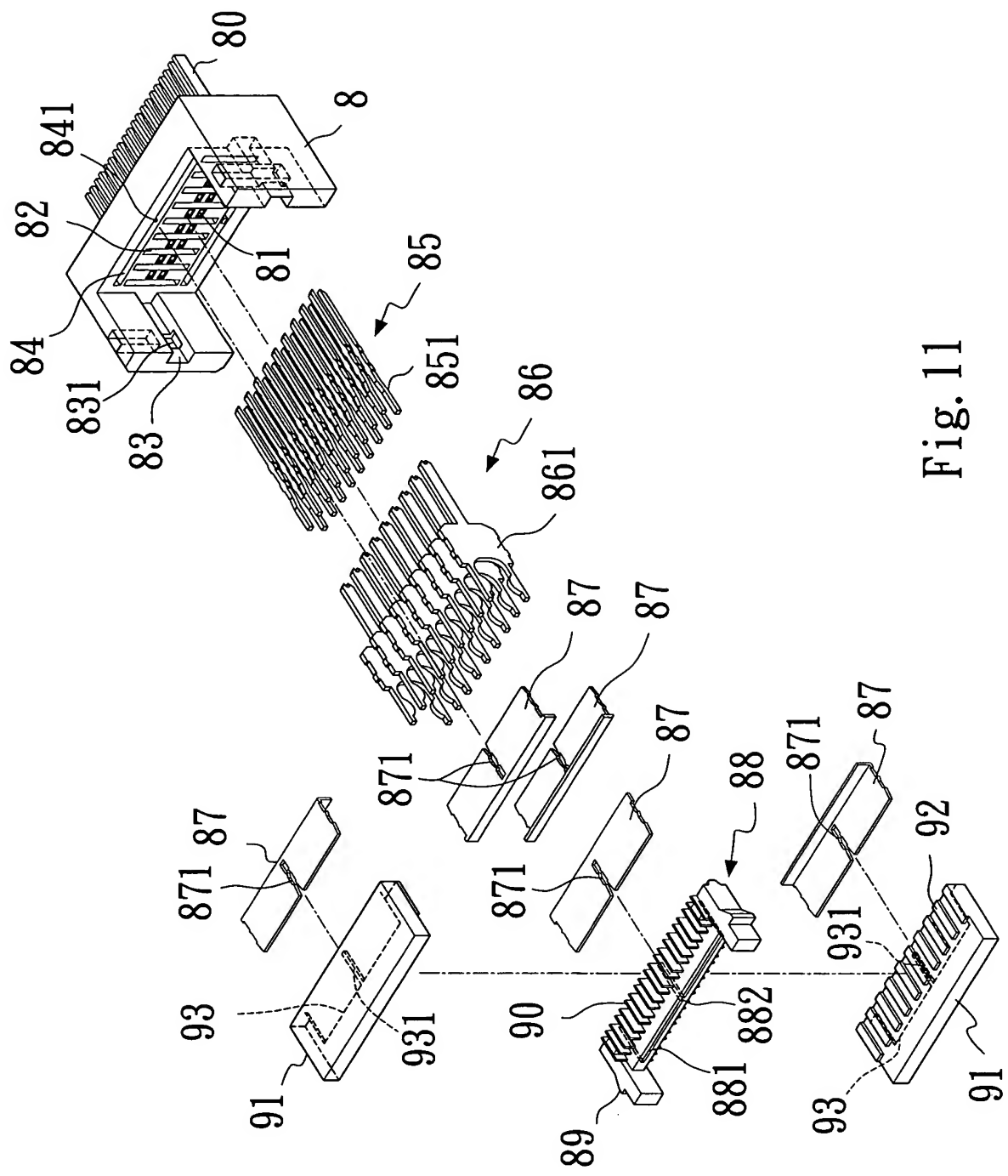


Fig. 9



D-D'
Fig. 10

Fig. 11



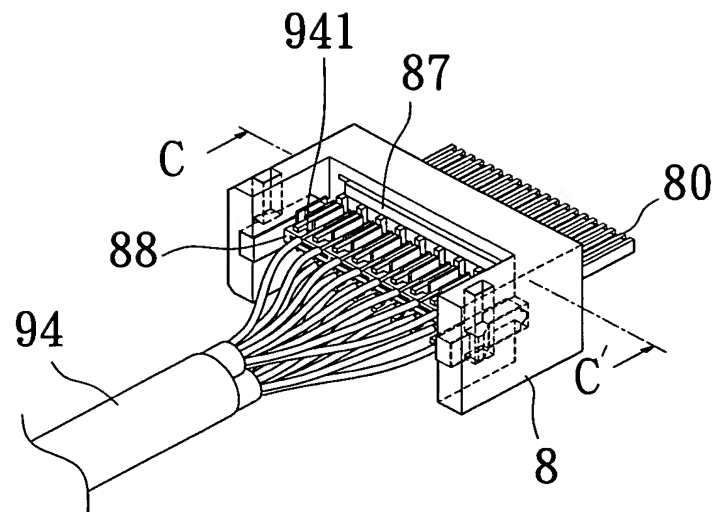


Fig. 12

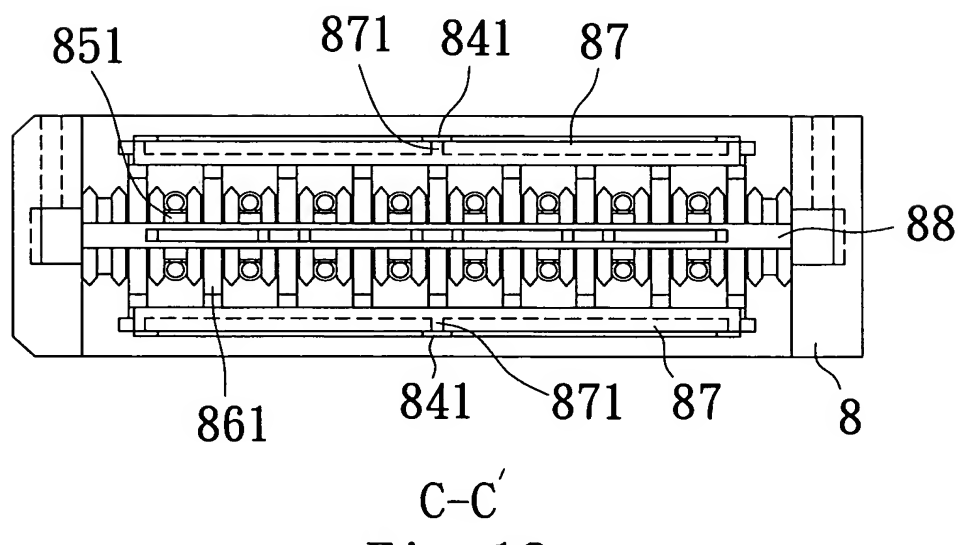


Fig. 13

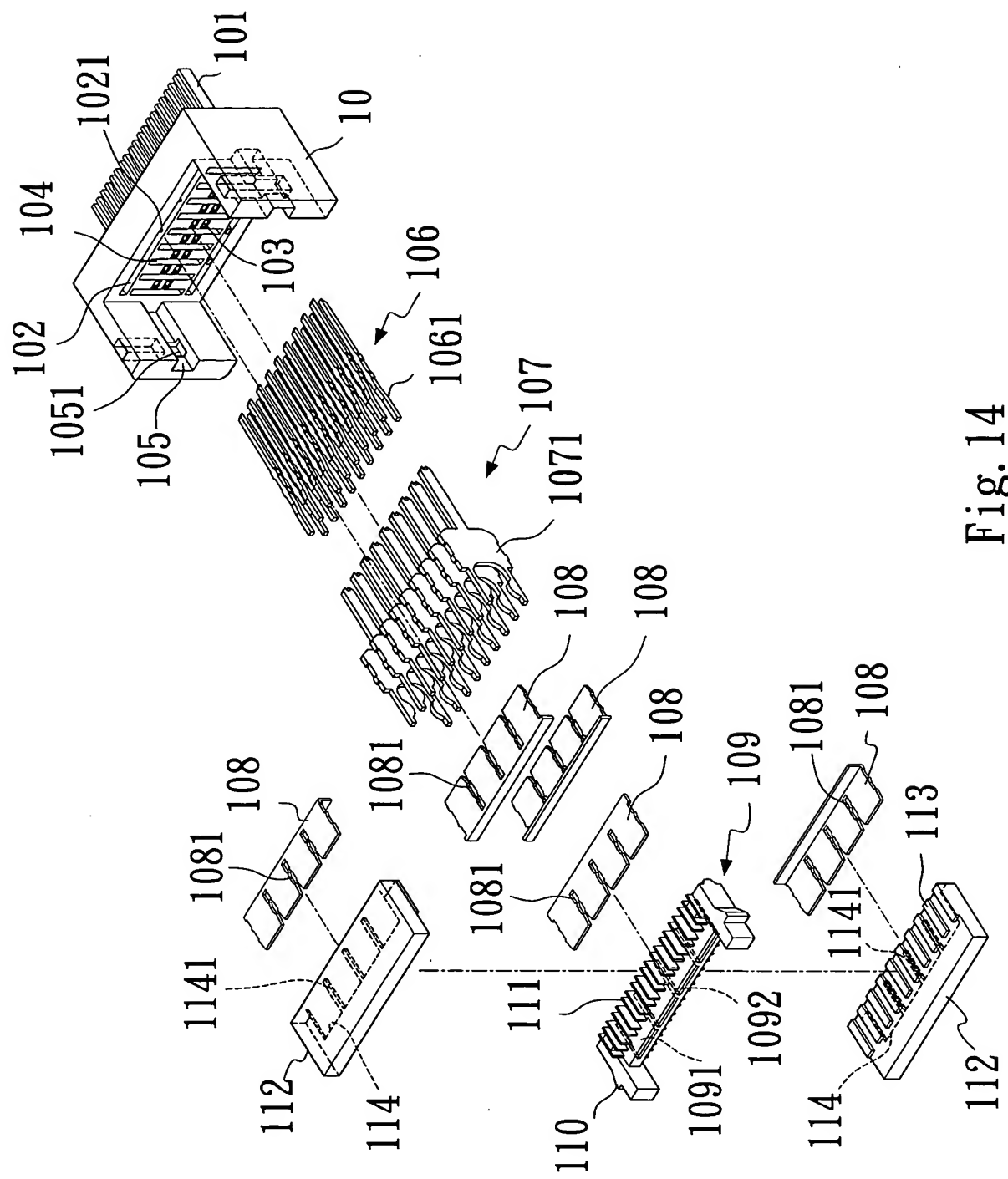


Fig. 14

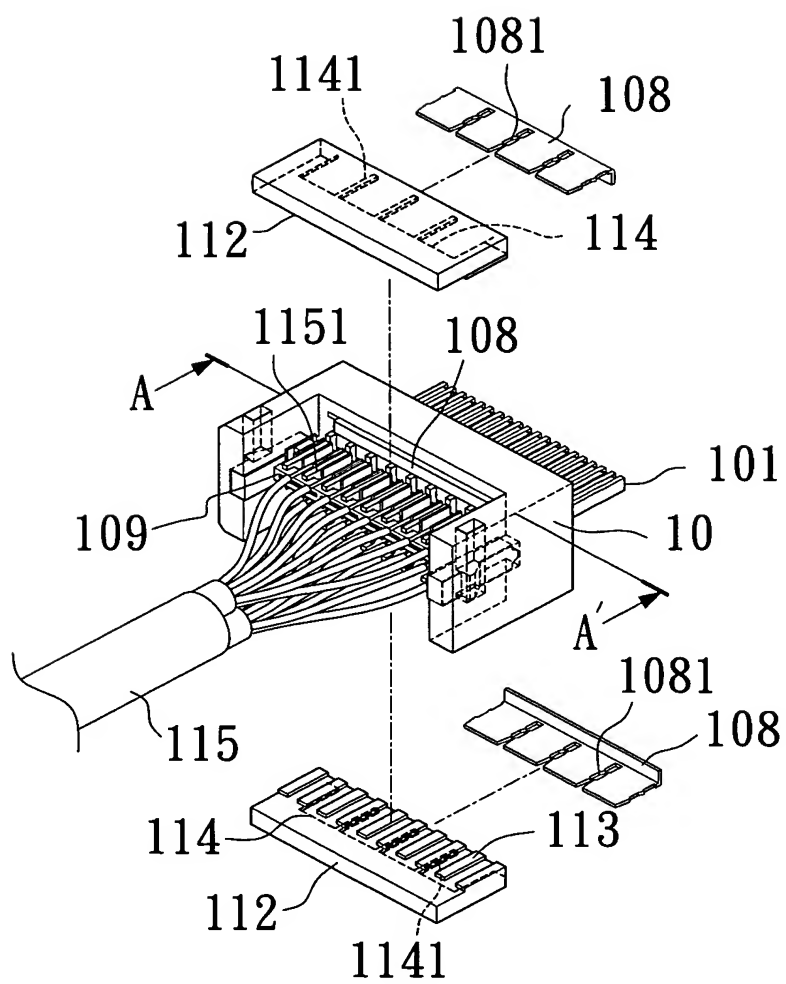
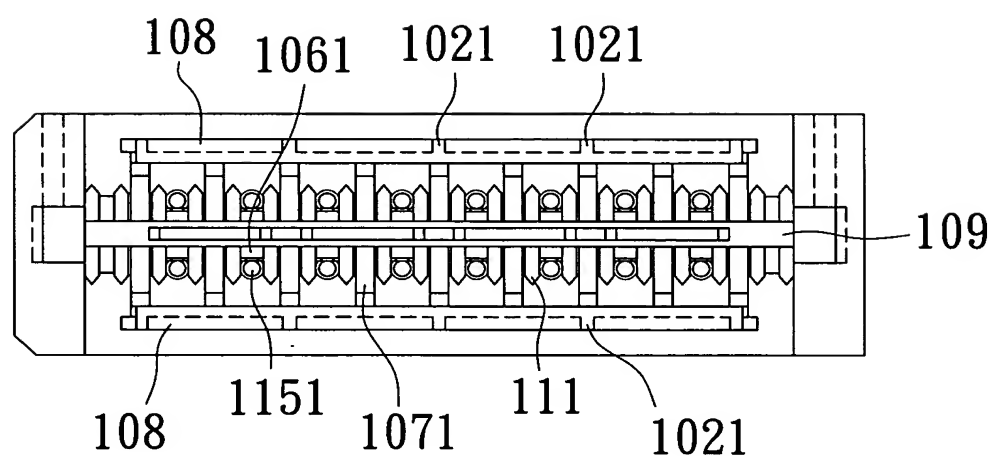
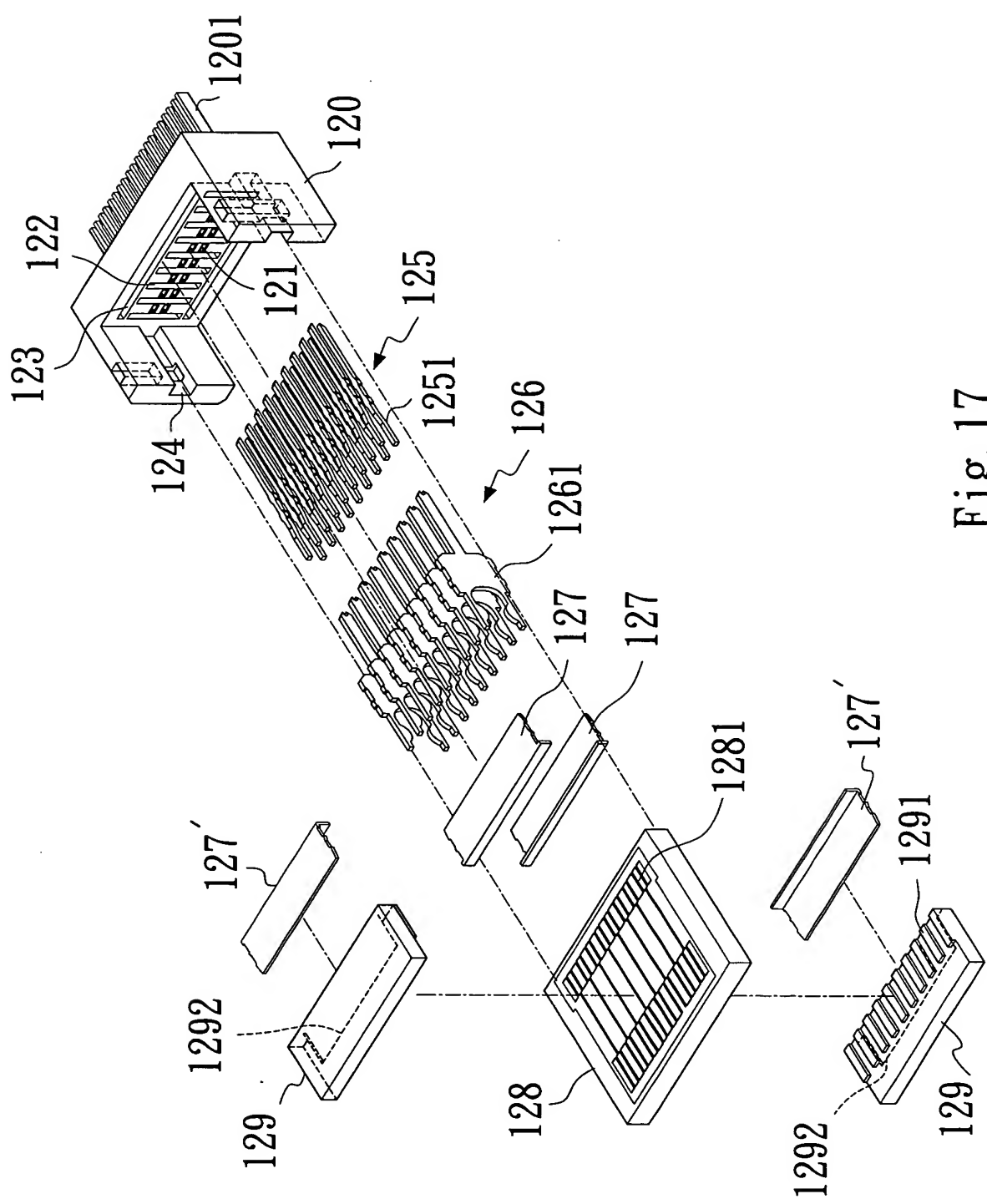


Fig. 15



A-A'
Fig. 16

Fig. 17



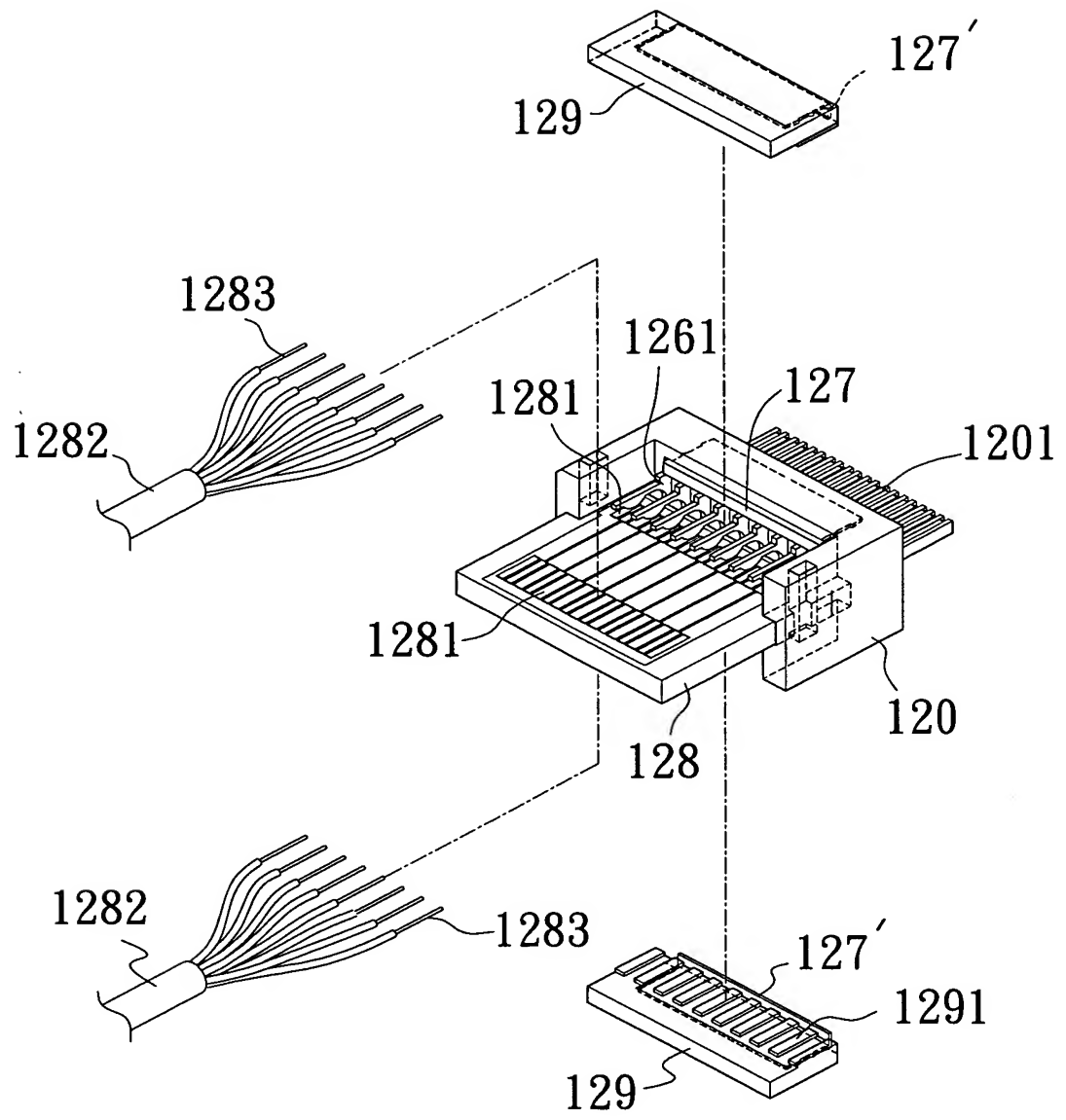


Fig. 18

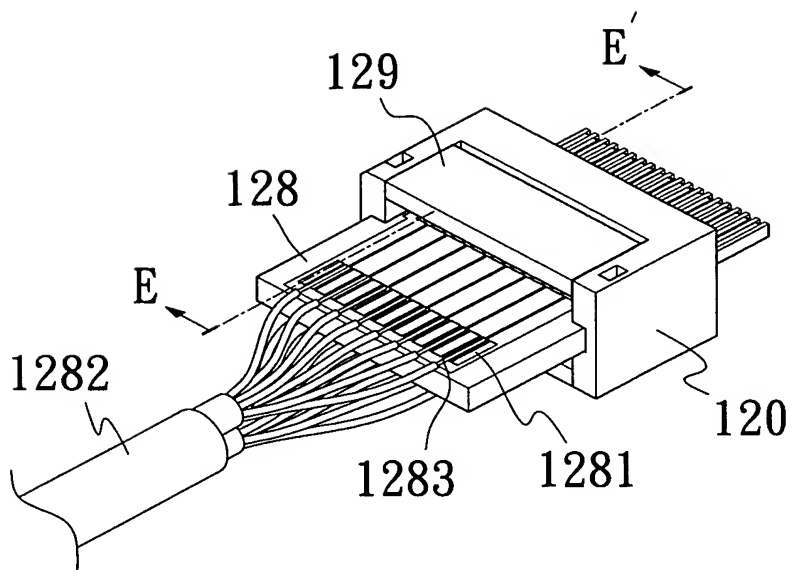
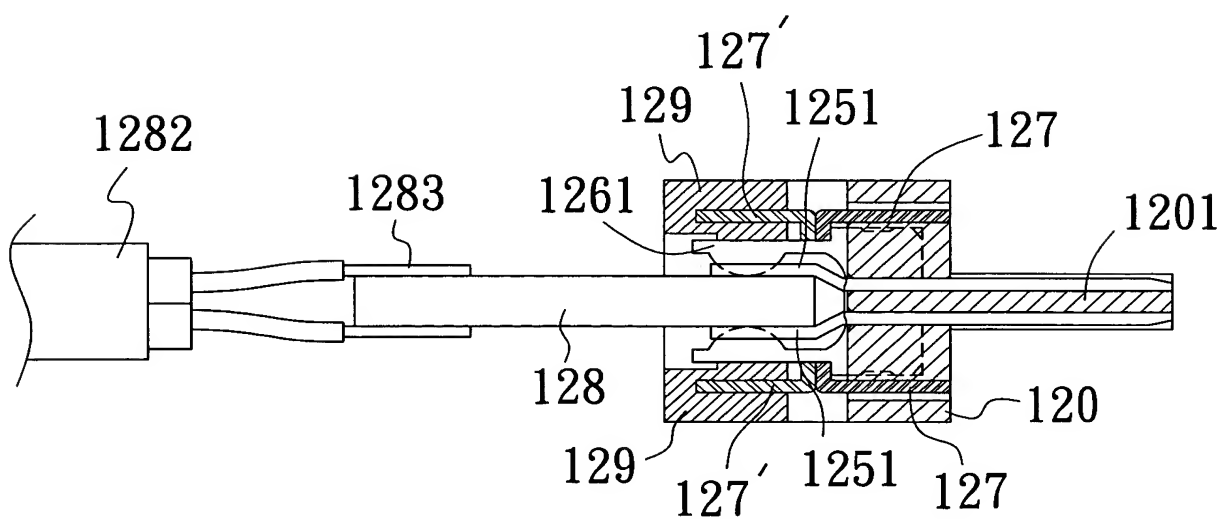
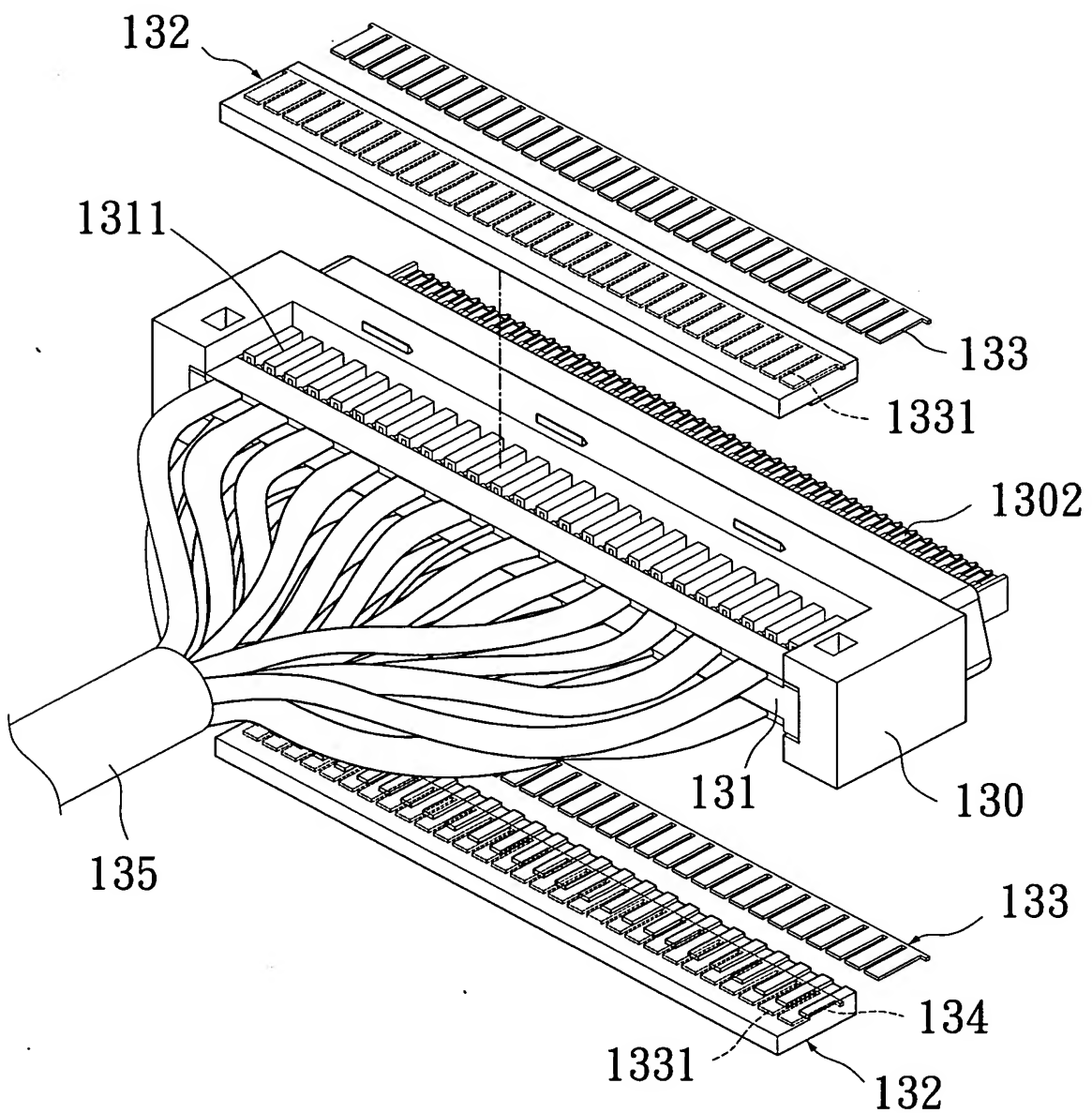


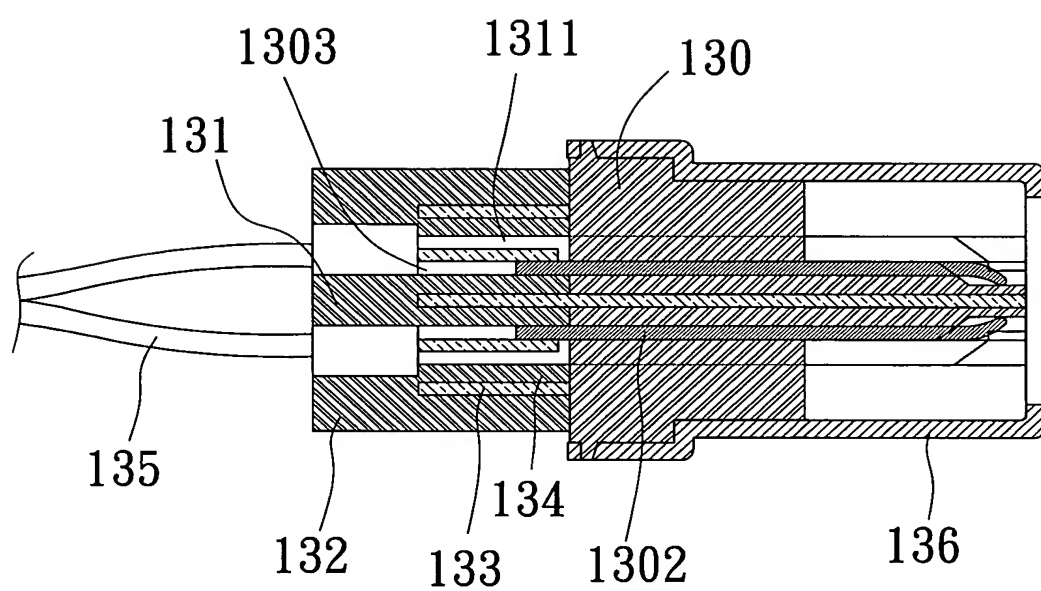
Fig. 19



E-E'
Fig. 20



(PRIOR ART)
Fig. 21



(PRIOR ART)

Fig. 22